

تاثیر محلول‌های قلیایی مختلف بر مقاومت فشاری بتن ژئوپلیمری برپایه خاکستر بادی

علیرضا اسپرهم^۱، امیر بهادر مرادی خو^۲

- ۱- کارشناس ارشد مهندسی زلزله، دانشگاه آزاد اسلامی، واحد علوم تحقیقات، باشگاه پژوهشگران جوان و نخبگان، تهران، ایران.
۲- کارشناس ارشد مهندسی سازه، دانشگاه آزاد اسلامی، واحد علوم تحقیقات، باشگاه پژوهشگران جوان و نخبگان، تهران، ایران.

آدرس پست الکترونیکی نویسنده را بخط: amirbahador.mk@gmail.com

چکیده

بتن به علت دارا بودن ویژگی‌های خاص پرمصرف ترین مصالح در صنعت ساخت و ساز، بعد از آب است. اما فرآیند تولید سیمان پرتلندر معاوی عمده زیست محیطی به دنبال دارد. در سال‌های اخیر ژئوپلیمر به عنوان یک جایگزین دوستدار محیط زیست برای سیمان پرتلندر مطرح شده است. محلول فعال کننده قلیایی به عنوان یکی از دو بخش اصلی ژئوپلیمرها، نقش مهمی را در تجزیه و تشکیل ساختار کربستالی Si و Al ایفا می‌کند. از این رو مطالعه نقش و میزان تاثیرگذاری محلول‌های قلیایی مختلف بر خواص بتن ژئوپلیمری ضروری به نظر می‌رسد. در این مطالعه آزمایشگاهی سه نوع محلول قلیایی NaOH، KOH و ترکیب KOH و NaOH و همچنین پارامترهای مربوطه بررسی شد. نتایج نشان داد استفاده از محلول فعال کننده قلیایی سدیمی سبب دستیابی به مقاومت زودرس بیشتر و استفاده از محلول پتاسیمی منجر به مقاومت نهایی بیشتر می‌شود. همچنین غلظت مولار بهینه محلول هیدروکسید پتاسیم ۱/۵ و نسبت بهینه محلول سیلیکات سدیم به هیدروکسید پتاسیم ۱۴، سنجش شد.

کلمات کلیدی: بتن ژئوپلیمری، خاکستر بادی، هیدروکسید سدیم، هیدروکسید پتاسیم، مقاومت فشاری.

۱. مقدمه

بتن به علت دارا بودن ویژگی‌های خاص مانند شکل پذیری، در دسترس بودن مصالح اولیه و ارزان بودن پرمصرف ترین مصالح در صنعت ساخت و ساز، بعد از آب است. پیش‌بینی می‌شود که نیاز به مصرف بتن در آینده بیشتر شود و این افزایش تقاضا به معنی افزایش تقاضا برای تولید سیمان پرتلندر، به عنوان ماده اصلی سازنده بتن است [۱]. اما فرآیند تولید سیمان پرتلندر معبّد عمده‌ای نیز به دنبال دارد. تولید سیمان پرتلندر باعث رهاسازی مقدار زیادی از دی‌اکسید کربن به محیط زیست می‌شود [۲]. به طوری که تولید یک تن سیمان پرتلندر سبب تولید تقریباً یک تن دی‌اکسید کربن می‌شود [۳] از سوی دیگر، تغییرات اقلیمی ناشی از پدیده گرمایش جهانی به یکی از جدی‌ترین نگرانی‌های محیط زیستی در سراسر جهان تبدیل شده است. علت اصلی پدیده گرمایش جهانی انتشار گازهای گلخانه‌ای است و در میان گازهای گلخانه‌ای دی‌اکسید کربن با میزان انتشار ۶۵ درصد، بیشترین نوش را در پدیده گرمایش جهانی

دارد [۴]. همچنین فرآیند تولید سیمان پرتلند عامل تولید ۵ تا ۷ درصد از کل میزان انتشار جهانی گاز دی‌اکسید کربن است [۵]. از این رو نیاز به استفاده از یک جایگزین برای سیمان پرتلند ضروری به نظر می‌رسد.

در سال‌های اخیر ژتوپلیمر به عنوان یک عامل سیمانی جدید و دوستدار محیط زیست، به عنوان جایگزینی برای سیمان پرتلند مطرح شده است. ژتوپلیمر برای اولین بار در سال ۱۹۷۸ میلادی توسط Davidovits شیمیدان برجهه فرانسوی، به عنوان بایندرهای جدیدی از خانواده پلیمرهای معدنی معرفی شد. وی همچنین استفاده از نام poly را برای شناسایی شیمایی ژتوپلیمرها پیشنهاد کرد که poly پیشوند پلیمری و sialate نیز عبارت اختصاری برای زنجیره همچنین استفاده از نام (sialate) را برای شناسایی شیمایی ژتوپلیمرها پیشنهاد کرد که poly پیشوند پلیمری و sialate نیز عبارت اختصاری برای زنجیره poly است. در شکل ۱ انواع مختلف poly(sialate) شناسان داده شده است [۶-۹].



شکل ۱- ساختار شیمایی poly(sialate) ها

ژتوپلیمرها مواد آلومنیاسیلیکاتی غیرآلی هستند که از ترکیب منع اولیه ژتوپلیمریزاسیون (منع آلومنیاسیلیکاتی) غنی از سیلیکا (SiO_4) و آلومنیا (Al_2O_3) با یک محلول قلایی فعال کننده حاصل می‌شوند [۱۰]. منع اولیه ژتوپلیمریزاسیون بسته به خواص مورد نیاز، هزینه و در دسترس بودن می‌تواند طبیعی مانند زنولیت، صنعتی مانند متاکنولن و یا ضایعاتی مانند خاکستر بادی (فلیاش) یا سرباره کوره آهن گذاری باشد. ترکیب شیمایی مواد ژتوپلیمری مشابه زنولیت است ولی دارای ساختار آمورف هستند برخلاف زنولیت که ساختار کریستالی دارد [۱۱]. ژتوپلیمریزاسیون واکنش سریع شیمایی در شرایط قلایی بین میزانالهای Si و Al است که باعث تشکیل زنجیره سه بعدی پلیمری Si-O-Al می‌شود [۱۲]. از نقطه نظر خواص مهندسی مورد نیاز در مهندسی عمران، بتن‌های ژتوپلیمری خصوصیات مکانیکی و شیمیایی بهتری نسبت به بتن‌های معمولی دارند که از جمله آنها می‌توان مقاومت فشاری، خمشی و کششی بالا [۱۳-۱۵]، سخت شدن سریع [۱۶]، مقاومت در برابر آتش سوزی و حرارت‌های بالا [۱۷-۱۹]، نفوذپذیری کم و مقاومت در برابر حمله نمک‌ها و اسیدها [۲۰-۲۲] و خرز پایین [۲۱] اشاره کرد.

یکی از منابع اولیه ژتوپلیمریزاسیون خاکستر بادی است. خاکستر بادی محلول جانبی نیروگاه داغ سنجک سوز است که به دلیل ماهیت ساختاری آمروز می‌تواند یکی از بهترین منابع اولیه ژتوپلیمریزاسیون باشد. خاکستر بادی در دو کلاس C (دارای مقادیر زیاد CaO) و F (حاوی مقادیر کم CaO) دسته‌بندی می‌شود. در این مقاله از خاکستر بادی کلاس F به عنوان منع آلومنیاسیلیکاتی، برای ساخت بتن ژتوپلیمری استفاده شد.

محلول فعال کننده قلایی به عنوان یکی از دو بخش اصلی ژتوپلیمرها نقش مهمی را در تجزیه و تشکیل ساختار کریستالی Si و Al ایفا می‌کند و معمولاً بر مبنای سدیم یا پاتاسیم که از فلزات قلایی حلال هستند، انتخاب می‌شود. رایج‌ترین محلول قلایی مورد استفاده در ژتوپلیمریزاسیون، ترکیبی از محلول هیدروکسید سدیم (NaOH) یا پاتاسیم (KOH) با محلول سیلیکات سدیم یا پاتاسیم است [۱۳]. با توجه به نقش مهم محلول فعال کننده قلایی در بتن‌های ژتوپلیمری، بررسی و مطالعه نقش و میزان تاثیر گذاری محلول‌های فعال کننده قلایی مختلف ضروری به نظر می‌رسد. در همین راستا تحقیقات مختلفی توسط پژوهشگران در این زمینه انجام شده است که در ادامه به اختصار به برخی از آنها پرداخته می‌شود. در پژوهش‌های آغازین در مورد ژتوپلیمرها توسط Davidovits [۲۲-۲۴] و [۲۴-۲۶] از محلول NaOH یا KOH بدون محلول سیلیکاتی، به عنوان محلول فعال کننده قلایی استفاده می‌شد. Xu و همکاران [۱۱] نیز در جریان تحقیقات خود بر روی ژتوپلیمرها از محلول NaOH یا KOH بدون محلول سیلیکاتی، به عنوان محلول فعال کننده قلایی استفاده کردند و نتیجه گیری کردند در این نوع از محلول‌های فعال کننده قلایی، KOH نتایج بهتری را ارائه می‌کند. Palomo [۲۰] در تحقیقات خود دریافتند که محلول فعال کننده قلایی نقش مهمی در واکنش پلیمریزاسیون دارد و اضافه کردن یک محلول سیلیکاتی مانند سیلیکات سدیم یا پاتاسیم به محلول KOH یا NaOH می‌تواند به بالا رفتن نرخ واکنش کمک و نتایج بهتری را همراه داشته باشد و همچنین آنها در جریان تحقیقات خود دریافتند که استفاده

از محلول NaOH و سلیکات سدیم نتایج بهتری را در مقایسه با محلول KOH و سلیکات پاتاسیم به دیال دارد. Cheng و همکاران [۲۵۲۴] نیز در جریان تحقیقات خود بر روی ژنوبیلیمرهای ضد حریق، نتایج مشابهی گرفتند. Panagiotopoulou و [پلاتان همکاران](#) [۲۶۲۵] در تحقیقات خود از ترکیب محلول NaOH و KOH به عنوان محلول هیدروکسید به اختلاف سلیکات سدیم استفاده کردند و نتایج آزمایشات نشان داد که استفاده از دو محلول NaOH و KOH به طور همزمان باعث کاهش مقاومت فشاری بتن ژنوبیلیمری می شود.

Rashed [۲۶] در پژوهشی در مورد ژنوبیلیمرها نتیجه گیری کرد که در حالت کلی، در اغلب مواد با افزایش غلظت محلول هیدروکسید سدیم تا یک غلظت خاص، مقاومت فشاری بتن ژنوبیلیمری افزایش می یابد. Sharma و [دیگران همکاران](#) [۲۷] نیز در پژوهشی در مورد فاکتورهای تاثیرگذار بر مقاومت فشاری بتن ژنوبیلیمری بر پایه خاکستر بادی، نتیجه گیری کردند که با افزایش غلظت محلول هیدروکسید سدیم تا ۱۶ مول، مقاومت فشاری بتن افزایش می یابد اما با افزایش بیشتر غلظت تا ۱۸ مول، تعییر قابل ملاحظه ای در مقاومت فشاری دیده نمی شود در حالی که Patel و [همکاراندیگران](#) [۲۸] نتیجه گیری کردند که با افزایش غلظت محلول هیدروکسید سدیم تا ۲۰ مول در بتن ژنوبیلیمری بر پایه متاکانول، مقاومت فشاری افزایش می یابد و افزایش غلظت به بیشتر از ۲۰ مول سبب کاهش مقاومت فشاری می شود. در مورد نسبت وزنی محلول سلیکات سدیم به هیدروکسید سدیم Hardjito و همکاران [۲۹] در پژوهش روی بتن ژنوبیلیمری بر پایه خاکستر بادی گزارش کردند که در متگام استفاده از محلول سلیکات سدیم و محلول هیدروکسید سدیم با غلظت ۱۴ مول، نسبت وزنی بهینه محلول سلیکات سدیم به محلول هیدروکسید سدیم برابر با ۲/۵ است. در حالی که Petrus و همکاران [۳۰] در جریان پژوهش در مورد بتن ژنوبیلیمری بر پایه بتونیت و سلیکات، میزان بهینه این نسبت را ۱/۵ گزارش کردند. این پژوهشگران نیز از محلول سلیکات سدیم و محلول هیدروکسید سدیم با غلظت ۱۴ مول استفاده کردند.

با توجه به موارد گفته شده، در اکثر مقالات و پژوهش‌ها از محلول‌های فعال کننده قلیایی بر پایه سدیم استفاده شده است و تحقیقات زیادی در مورد محلول‌های قلیایی بر پایه سدیم و پارامترهای تاثیرگذار محلول فعال کننده قلیایی بر مقاومت فشاری بتن ژنوبیلیمری مانند غلظت محلول NaOH محلول سلیکات سدیم، نسبت SiO_۲ به Na_۲O در محلول سلیکات سدیم، نسبت وزنی محلول سلیکات سدیم به محلول NaOH و همچنین بهینه یابی این پارامترها انجام شده است که محققان می‌توانند از این نتایج استفاده کنند. اما در مورد محلول KOH، ترکیب محلول NaOH و KOH، پارامترهای مربوطه و بهینه یابی آنها و همچنین مقایسه این سه محلول فعال کننده قلیایی مختلف، تحقیقات بسیار اندکی انجام صورت گرفته است. بنابراین در این پژوهش آزمایشگاهی تلاش شده است که در حد توان به بررسی و مقایسه این محلول‌ها و بهینه یابی پارامترهای مربوطه پرداخته شود.

۲. مواد مصالح مصرفی

منبع اصلی ژنوبیلیمر بیزاسیون در این مقاله خاکستر بادی بود که آنالیز XRF آن در جدول ۱ و تصویر آن در شکل ۲ ارائه شده است. هیدروکسید سدیم (NaOH) با خلوص ۹۸ درصد و هیدروکسید پاتاسیم (KOH) با خلوص ۹۰ درصد از شرکت قطران شیمی خریداری شد. محلول سلیکات سدیم مایع با نسبت Na₂O به SiO_۲ برابر با ۲، از شرکت بتن زیست فن آور خریداری شد. آلتاز این ۳ ماده در جدول ۲ ارائه شده است. شن و ماسه مصرفی از معادن اطراف شهریار تهیه شد. شن مصرفی از نوع شن شکسته بود که پس از تهیه، توسط الک استاندارد ASTM D1۶۷۰ دانه‌بندی شد. در این پژوهش، از شن در ۲ اندازه ۱۰ و ۷ میلی‌متری استفاده شد. آزمایش وزن مخصوص و جذب آب مطابق با استاندارد ASTM C1۷۷ [۳۱] از شن مصرفی، گرفته شد. این آزمایش از ماسه نیز مطابق با استاندارد ASTM C1۲۸ [۳۲] به عمل آمد که نتایج آن در جدول ۳ ارائه شده است. همچنین ضریب نرمی ماسه مطابق با استاندارد ASTM C1۳۶ [۳۳]، میزان رد شده از الک شماره ۲۰۰، ۰/۳۰-۱۱۳ درصد و ارزش ماسه‌ای نیز بر اساس استاندارد ASTM D2۴۱۹ [۳۴] اندازه گیری شد. آب مصرفی نیز آب لوله کشی شهر تهران بود. روان کننده مورد استفاده نیز از نوع پلی کربوکسیلاتی بود.

جدول ۱- آنالیز XRF خاکستر بادی کلاس F

SiO _۲	Al _۲ O _۳	CaO	Fe _۲ O _۳	MgO	K _۲ O	TiO _۲	Na _۲ O	MnO	P _۲ O _۵
70.7	21.1	1.13	3.90	0.77	1.09	0.92	0.26	0.05	0.05



شکل ۲- تصویر خاکستر بادی

جدول ۲- آنالیز شیمایی محلول‌های هیدروکسید سدیم، هیدروکسید پتانسیم و سیلیکات سدیم

NaOH			KOH			Na ₂ SiO ₃		
Chemical substance	Result	Unit	Chemical substance	Result	Unit	Chemical substance	Result	Unit
NaOH	98	%	NaOH/KOH	90.7	%	SiO ₃	30.00	%
Na ₂ CO ₃	1	%	K ₂ CO ₃	0.2	%	Na ₂ O	14.50	%
NaCl	200	ppm	NaCl	0.006	%	Water	55.50	%
Fe	6	ppm	Fe	0.2	ppm			
SiO ₃	15.7	ppm	NaOH	0.6	%			
Appearance	White flake		Appearance	White flake		Appearance	Clear liquid	

جدول ۳- جذب آب و وزن مخصوص سنگدانه‌ها

Material	SSD Specific gravity (gr/cm ³)	Water absorption (%)
Coarse aggregates	2.62	1.3
Fine aggregates	2.59	3.2

۳. روش آزمایشگاهی

بخش اول آزمایش معطوف به مقایسه تأثیر محلول‌های فعال کننده قلایای مختلف بر مقاومت فشاری بود. به این منظور ۵ طرح محلول فعال کننده قلایای شامل:

- طرح N: NaOH و سیلیکات سدیم
- طرح K: KOH و سیلیکات سدیم
- طرح N50K50: ۵۰ درصد KOH و سیلیکات سدیم + ۵۰ درصد NaOH
- طرح N75K25: ۷۵ درصد KOH و سیلیکات سدیم + ۲۵ درصد NaOH
- طرح N25K75: ۲۵ درصد KOH و سیلیکات سدیم + ۷۵ درصد NaOH

آماده شد. غلظت محلول‌های NaOH و KOH ۱۴ مول انتخاب شد. نسبت وزنی محلول سیلیکات سدیم به محلول هیدروکسیدی در هر ۵ طرح برابر با ۱/۵ انتخاب شد. همچنین در هر سه طرح نسبت وزنی محلول فعال کننده قلایایی به خاکستر بادی ۰/۵ بود. طرح‌های اختلاط بخش اول در جدول ۴ ارائه گردیده است.

جدول ۴ - طرح های اختلاط بخش اول

نام طرح	خاکستر بادی	NaOH	KOH	سیلیکات سدیم	شن	ماسه	روان کننده	آب اضافه	مقیاس
N	400	80	-	120	850	850	8	10	Kg/m ³
N ₅₀ K ₅₀	400	40	40	120	850	850	8	10	Kg/m ³
N ₇₅ K ₂₅	400	60	20	120	850	850	8	10	Kg/m ³
N ₂₅ K ₇₅	400	20	60	120	850	850	8	10	Kg/m ³
K	400	-	80	120	850	850	8	10	Kg/m ³

برای ساخت نمونه‌ها ابتدا محلول‌های فعال کننده قلایی آماده شد. به همین منظور ابتدا محلول هیدروکسید سدیم و پتاسیم با غلظت ۱۴ مولار با محلول سیلیکات سدیم و پتاسیم و روان کننده مطابق با طرح‌های اختلاط، مخلوط شد. به محلول‌های به دست آمده ۲۴ ساعت زمان داده شد تا سرد شود. در روز آزمایش، ابتدا مواد خشک شامل: شن، ماسه و خاکستر بادی مطابق با طرح‌های اختلاط، در میکسر پرتابی پرتالی بتون ریخته و به مدت ۳ دقیقه به منظور توزع یکنواخت به صورت خشک، **مکس مخلوط** شدند. پس محلول‌های فعال کننده قلایی، روان کننده و آب اضافه به میکسر اضافه شد و مخلوط بتون به مدت ۲ دقیقه **میکس مخلوط** شد. بعد از اتمام **میکس مخلوط کردن**، نمونه‌های فشاری قالب‌بندی شدند. نمونه‌ها به مدت ۱۰ ثانیه روی میز و پیره، متراکم شدند. سپس نمونه‌ها به مدت ۲۴ ساعت در آون و در دمای ۹۰ درجه سانتی گراد عمل آوری شدند. پس از پایان عمل آوری، نمونه‌ها از آون خارج شده و در دمای محیط قرار گرفتند. از نمونه‌ها آزمون مقاومت فشاری ۷ و ۲۸ روزه بر اساس Part ۱۱۶: BS ۱۸۸۱: ۲۵ گرفته شد.

در بخش دوم آزمایش، تاثیر غلظت محلول KOH بر مقاومت فشاری بتون ژنوبیلیری بر پایه خاکستر بادی مورد مطالعه قرار گرفت. به همین منظور ۳ طرح اختلاط تنظیم شد. طرح‌های اختلاط این بخش در جدول ۵ ارائه شده است.

جدول ۵ - طرح‌های اختلاط بخش دوم

نام طرح	خاکستر بادی	KOH	سیلیکات سدیم	شن	ماسه	روان کننده	آب اضافه	مقیاس	غلظت مولار KOH محلول
FK ۱۰	400	80	120	850	850	8	10	Kg/m ³	10
FK ۱۲	400	80	120	850	850	8	10	Kg/m ³	12
FK ۱۴	400	80	120	850	850	8	10	Kg/m ³	14

در این بخش نیز نمونه‌های فشاری بتون ژنوبیلیری همانند مرحله قبل، ساخته و عمل آوری شدند و آزمون مقاومت فشاری ۷ و ۲۸ روزه از نمونه‌ها به عمل آمد.

در بخش سوم، به منظور بررسی تاثیر پارامتر نسبت وزنی محلول فعال کننده قلایی به خاکستر بادی بر مقاومت فشاری بتون ژنوبیلیری و بهینه یابی این پارامتر، با توجه به نتایج مراحل قبل، ۴ طرح اختلاط تنظیم شد. طرح‌های اختلاط این بخش در جدول ۶ ارائه شده است. لازم به ذکر است که به منظور ثابت نگه داشتن شرایط آزمایش، نسبت محلول سیلیکات سدیم به هیدروکسید پتاسیم در تمامی طرح‌ها ۱/۵ و غلظت محلول هیدروکسید پتاسیم ۱۴ مول بود. در این بخش نیز نمونه‌های فشاری بتون ژنوبیلیری همانند مرحله قبل، ساخته و عمل آوری شدند. از نمونه‌ها آزمون مقاومت فشاری ۷ و ۲۸ روزه گرفته شد.

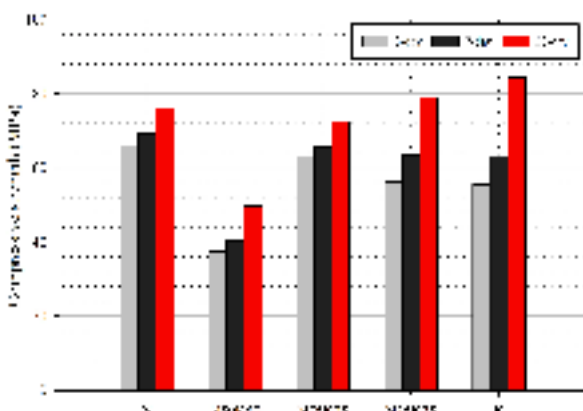
جدول ۶- طرح‌های اختلاط بخش سوم

نام طرح	خاکستر بادی	KOH	سیلیکات سدیم	شن	ماسه	روان کننده	آب اضافه	مقیاس	نسبت وزنی سیلیکات سدیم به KOH
FK۱	400	100	100	850	850	8	10	Kg/m ^۳	1
FK۱.۵	400	80	120	850	850	8	10	Kg/m ^۳	1.5
FK۲	400	66	134	850	850	8	10	Kg/m ^۳	2
FK۲.۵	400	57	143	850	850	8	10	Kg/m ^۳	2.5
FK۳	400	50	150	850	850	8	10	Kg/m ^۳	3

۴. نتایج و بحث‌جزئیه و تحلیل نتایج

۱- نتایج بخش اول - تأثیر نوع محلول فعال کننده قلیایی بر مقاومت فشاری

نتایج آزمایش تأثیر نوع محلول فعال کننده قلیایی بر مقاومت فشاری بتن ژنوبلپمری، در شکل ۳ ارائه شده است. مقاومت فشاری ۳ و ۲۸ روزه نمونه N که برای ساخت آن از محلول هیدرو-کسید سدیم و سیلیکات سدیم استفاده شده بود، ۶۹/۲ و ۷۶ مگاباسکال اندازه گیری شد. مقاومت فشاری ۳ و ۲۸ روزه نمونه K که برای ساخت آن از محلول هیدرو-کسید پتاسیم و سیلیکات سدیم استفاده شده بود، به ترتیب برابر با ۶۳/۱ و ۵۵/۵ مگاباسکال بود. نمونه N تقریباً ۹۱ و ۸۷ درصد از مقاومت فشاری ۲۸ روزه خود را در ۷ و ۳ روز کسب کرد. این اعداد برای نمونه K تقریباً ۷۵ و ۶۶ درصد بود. در مقایسه این ۲ نوع محلول فعال کننده قلیایی می‌توان گفت که نمونه N مقاومت فشاری ۳ و ۷ روزه و همچنین روند کسب مقاومت در سنین پایین، بیشتری را ارائه کرد. از سوی دیگر، در نمونه K مقاومت فشاری ۲۸ روزه بیشتری مشاهده شد.



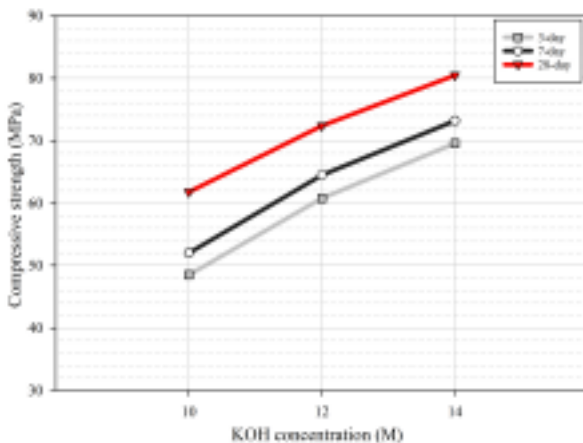
شکل ۳- نتایج تأثیر محلول‌های فعال کننده قلیایی مختلف بر مقاومت فشاری

نتایج نشان داد استفاده همزمان از دو محلول NaOH و KOH به میزان ۵۰ درصد از هر کدام، سبب کاهش قابل ملاحظه مقاومت فشاری هم نسبت به طرح N و هم K می شود (قریباً ۳۵ درصد نسبت به N و ۴۲ درصد نسبت به K) به طوری که مقاومت فشاری ۳ و ۷ روزه نمونه $\text{N}50\text{K}50$ به ترتیب برابر با $40/4$ و $49/7$ مگاپاسکال اندازه گیری شد. همچنین مقاومت فشاری ۳ و ۷ روزه نمونه طرح $\text{N}25\text{K}75$ به ترتیب برابر با $56/3$ و $63/4$ مگاپاسکال و طرح $\text{N}75\text{K}25$ به ترتیب برابر با $65/6$ و $72/5$ مگاپاسکال اندازه گیری شد.

این نتایج می تواند به تفاوت در مکانیسم واکنش های Na و K مربوط باشد. مکانیسم اثر محلول فعال کننده قلایای برای شکستن ساختار SiO_2 و Al_2O_3 منع آلومیناسیلکاتی، ایجاد یون سیلیکون و آلومنیوم و تشکیل خمیر ژوپلیمر، طی ۳ مرحله انحلال، جهت گیری جزئی پیش ماده متخرک و بارگذاری مجدد ذرات از فاز جامد اولیه، انجام می شود [۱۵ و ۳۶]. نوع فعال کننده قلایای نقش بسیار مهمی در پیشرفت فرآیند تولید ژوپلیمر دارد که معمولاً پتانسیم به دلیل شعاع اتمی بزرگتر، باعث تشکیل اولیگومرسیلیکات های بزرگتر می شود که $\text{Al}(\text{OH})_4$ آن را ترجیح داده و به آن متصل می شود. بنابراین در حالت استفاده از محلول فعال کننده پتانسیمی، ژوپلیمر بیشتری تشکیل می شود که منجر به تشکیل سیستم قوی تر و فشرده تر نسبت به محلول فعال کننده سدیمی، می شود [۳۷] که نتیجه مقاومت فشاری ۳ و ۷ روزه کمتر، سخت شدن کنتر و مقاومت فشاری ۲۸ روزه بیشتر است. از سوی دیگر در محلول فعال کننده سدیم، هیدروکسید سدیم توانایی اتحلال مواد معدنی بیشتری را در غلظت های مشابه هیدروکسید سدیم، دارد. همین امر باعث بالاتر بودن سرعت واکنش Na^+ در مقایسه با K^+ می شود [۱۱ و ۴۴] به دلیل همین سرعت بالای واکنش Na^+ در حالت استفاده از محلول فعال کننده سدیمی، مقاومت فشاری ۳ و ۷ روزه بیشتر و سخت شدن سریع تری نسبت به محلول پتانسیمی، بدست می آید. استفاده هم زمان از دو محلول NaOH و KOH در حل کردن Si و Al موجود در منبع آلومیناسیلکاتی بسیار قوی است و نمی تواند با نقش K در میل به انجام واکنش تراکمی، بالا نشود [۴۴-۴۵]. با کمتر شدن درصد ترکیب دو محلول NaOH و KOH از $50-50$ به $75-25$ این تداخل کمتر شده و نمونه های طرح $\text{N}25\text{K}75$ و $\text{N}75\text{K}25$ مقاومت فشاری بیشتری نسبت به طرح $\text{N}50\text{K}50$ ارائه کردند.

۴-۲- نتایج بخش دوم - تاثیر غلظت محلول KOH بر مقاومت فشاری

نتایج مربوط به بررسی تاثیر غلظت محلول KOH بر مقاومت فشاری بتن ژوپلیمری و بهینه یابی این پارامتر، در شکل ۴ ارائه شده است.

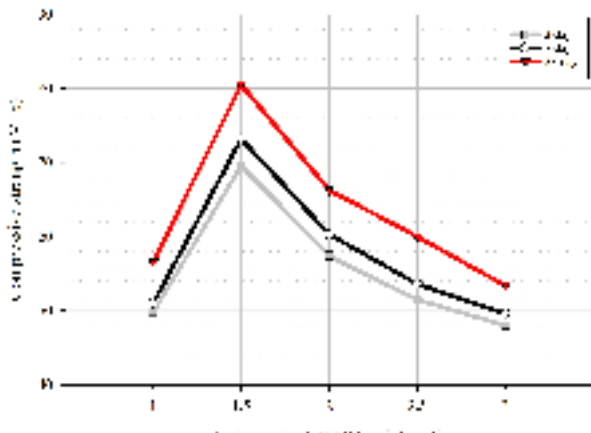


شکل ۴- نتایج تاثیر غلظت محلول KOH بر مقاومت فشاری

با توجه به نتایج بدست آمده، کمترین مقاومت فشاری ۷ و ۲۸ روزه در حالت استفاده از KOH ۱۰ مول، به میزان ۵۲، ۴۸/۵ و ۶۱/۸ مگاپاسکال اندازه گیری شد. با افزایش غلظت محلول KOH از ۱۰ تا ۱۴ مول، مقاومت فشاری ۳ و ۲۸ روزه نیز تقریباً ۴۲ و ۳۹ درصد افزایش یافت. دلیل این موضوع این است که در غلظت‌های بالاتر، مقادیر بیشتری از SiO_4^{4-} و AlO_4^{4-} منبع آلمونیاسیلیکاتی در محلول فعال کننده قلایی حل می‌شود، در نتیجه مقادیر بیشتری از ژل ژنوپلیمری تشکیل شده که نتیجه آن بالارفتن مقاومت فشاری است [۲۸]. در نتیجه غلظت ۱۴ مول به عنوان غلظت بهینه محلول KOH سنجش شد.

۴-۴- نتایج بخش سوم - تأثیر نسبت وزنی محلول سیلیکات سدیم به محلول KOH بر مقاومت فشاری

نتایج مربوط به بررسی اثر نسبت وزنی محلول سیلیکات سدیم به محلول KOH ، بر مقاومت فشاری بتن ژنوپلیمری بر پایه خاکستر بادی و بهینه یابی این پارامتر، در شکل ۵ ارائه شده است. در نسبت وزنی محلول سیلیکات سدیم به هیدروکسید پتانسیم برایرا با ۱، مقاومت فشاری ۳ و ۲۸ روزه ۴۹/۸ و ۵۱ و ۵۶/۶ مگاپاسکال اندازه گیری شد. با افزایش نسبت به ۱/۵، مقاومت فشاری ۷ و ۲۸ روزه به طور قابل ملاحظه‌ای افزایش یافت (۴۳ و ۴۲ درصد) و به ۷۳/۲ و ۶۹/۶ مگاپاسکال رسید. با افزایش بیشتر این نسبت تا ۳، مقاومت فشاری به طور قابل ملاحظه‌ای کاهش یافت به طوری که در نسبت ۳ مقاومت فشاری ۷ و ۲۸ روزه ۳۲ و ۳۶ درصد، در نتیجه در این تحقیق ۱/۵ به عنوان نسبت بهینه برای این پارامتر سنجش شد.



شکل ۵- نتایج تأثیر نسبت وزنی محلول سیلیکات سدیم به محلول KOH بر مقاومت فشاری

نقش محلول فعال کننده قلایی به وزن هیدروکسید سدیم با پتانسیم، حل کردن Si و Al موجود در منبع آلمونیاسیلیکاتی و تولید SiO_4^{4-} و AlO_4^{4-} برای تولید ژل ژنوپلیمری است. اضافه کردن یک محلول سیلیکاتی مانند سیلیکات سدیم با پتانسیم به محلول فعال کننده قلایی، به دلیل داشتن Si محلول، سبب افزایش میزان SiO_4^{4-} و نخواکنش ژنوپلیمریزاسیون و به تبع آن افزایش مقاومت فشاری بتن ژنوپلیمری می‌شود. در این میان، اضافه کردن میزان کم (کمتر از نسبت بهینه) محلول سیلیکات سدیم به دلیل کمتر شدن میزان Al محلول و در نتیجه آن کمتر شدن میزان SiO_4^{4-} سبب کاهش مقاومت فشاری می‌شود. اما

از سوی دیگر، اضافه کردن میزان اضافی (بیشتر از نسبت بهینه) سیلیکات سدیم هم سبب کاهش مقاومت فشاری می‌شود زیرا در این حالت مقادیر بیش از حد SiO_4^{4-} تولید می‌شود در حالی که میزان AlO_4^- در ترکیب ثابت (با محدود) است [۳۰ و ۳۷]. در نتیجه با خارج شدن نسبت Si/Al از محدوده بهینه، مقاومت فشاری کاهش می‌یابد.

۵. نتیجه‌گیری

در این مقاله **سعی شد** که در حد توان به بررسی محلول‌های قلایی مختلف و پارامترهای تاثیرگذار و تاثیر آنها بر مقاومت فشاری بتن ژنوپلمری بر پایه سرباره پرداخته شود. در همین راستا با توجه به نتایج بدست آمده در بخش قبل می‌توان موارد زیر را به عنوان نتایج ارائه کرد:

- نوع محلول فعال کننده قلایی از پارامترهای تاثیرگذار بر مقاومت فشاری بتن ژنوپلمری است. استفاده از محلول سیلیکات پتانسیم و هیدروکسید سدیم، به دلیل میل واکنشی K^+ به انجام واکنش تراکمی و تشکیل اولیگومرسلیکات‌های بزرگ‌تر، سبب دستیابی به مقاومت فشاری ۲۸ روزه بیشتر نسبت به سیلیکات سدیم و هیدروکسید سدیم شد. استفاده از سیلیکات سدیم و هیدروکسید سدیم به دلیل میل واکنشی Na^+ به انجام سریع واکنش ژنوپلمریزاسیون و میزان بیشتر انحلال SiO_4^{4-} و AlO_4^- در محلول هیدروکسید سدیم، منجر به دستیابی به مقاومت فشاری ۳ و ۷ روزه بیشتر و همچنین کمب مقاومت زودرس بیشتر، نسبت به محلول سیلیکات سدیم و هیدروکسید پتانسیم شد.
- استفاده از ترکیب محلول‌های NaOH و KOH (۵۰ درصد-۵۰ درصد) و محلول سیلیکات سدیم به عنوان محلول فعال کننده قلایی در بتن ژنوپلمری بر پایه خاکستر بادی، به دلیل تداخل در امیال واکنشی K^+ و Na^+ باعث کاهش قابل ملاحظه مقاومت فشاری ۳ و ۷ روزه شد. با تغییر در درصد ترکیب محلول‌های NaOH و KOH به ۲۵-۷۵ درصد، این تداخل کمتر شده و مقاومت فشاری نمونه‌ها افزایش یافت.
- غلظت محلول هیدروکسید پتانسیم نیز از دیگر پارامترهای تاثیرگذار بر مقاومت فشاری بتن ژنوپلمری است. افزایش غلظت هیدروکسید پتانسیم از ۱۰ به ۱۴ مول، سبب افزایش ۲۳ درصدی مقاومت فشاری به دلیل افزایش میزان انحلال Si و Al (موجود در خاکستر بادی) توسط محلول فعال کننده قلایی، شد.
- نسبت وزنی محلول سیلیکات سدیم به محلول هیدروکسید پتانسیم نیز یکی از پارامترهای تاثیرگذار در مقاومت فشاری بتن ژنوپلمری است. در این تحقیق نسبت‌های ۱، ۱/۵، ۲/۵ و ۳ مورد مطالعه قرار گرفت. با افزایش نسبت از ۱ به ۱/۵ (میزان بهینه) بیشترین مقاومت فشاری بتن ژنوپلمری به دلیل افزایش SiO_4^{4-} محلول، اندازه‌گیری شد. با افزایش بیشتر این نسبت تا ۳، مقاومت فشاری ۳ و ۷ روزه به دلیل وجود مقادیر بیش از حد SiO_4^{4-} و خارج شدن نسبت Si/Al از محدوده بهینه، ۳۲ و ۳۶ درصد کاهش یافت.

۶. مراجع

- [۱] Malhotra, V.M. (۱۹۹۹). "Making concrete 'greener' with fly ash". ACI Concrete International, Vol. ۲۱, pp ۶۱-۶۶.
- [۲] Davidovits, J. (۱۹۹۴c). "Global Warming Impact on the Cement and Aggregates Industries". World Resource Review, Vol. ۶(۲), pp ۲۶۳-۲۷۸.
- [۳] Malhotra, V.M. (۲۰۰۷). "Reducing CO₂ Emissions". ACI Concrete International, Vol. ۲۸, pp ۴۲-۴۵.
- [۴] McCaffrey, R. (۲۰۰۲). "Climate Change and the Cement Industry". Global Cement and Lime Magazine (Environmental Special Issue), pp ۱۵-۱۹.

- [⁵] Alzeer, M. and Mackenzie, K. (2012). "Synthesis and mechanical properties of novel composites of inorganic polymers (geopolymers) with unidirectional natural flax fibres (phormium tenax)". *Appl. Clay Sci.*, Vol. 78–79, pp 148–152.
- [⁶] Davidovits, J. (1988a). "Soft Mineralurgy and Geopolymers". Paper presented at the Geopolymer '88, First European Conference on Soft Mineralurgy, Compiègne, France.
- [⁷] Davidovits, J. (1988b). "Geopolymer Chemistry and Properties". Paper presented at the Geopolymer '88, First European Conference on Soft Mineralurgy, Compiègne, France.
- [⁸] Davidovits, J. (1991). "Geopolymers: Inorganic Polymeric New Materials". *Journal of Thermal Analysis*, Vol. 37, pp 1933–1956.
- [⁹] Van Jaarsveld, J.G.S., van Deventer, J.S.J. and Lukey, G.C. (1994a). "The effect of composition and temperature on the properties of fly ash- and kaolinite-based geopolymers". *Chemical Engineering Journal*, Vol. 54(1–2), pp 63–74.
- [¹⁰] DeSilva, P., Sagoe-Crenstil, K. and Sirivivatnanon, V. (1994). "Kinetics of geopolymerization: role of Al_2O_3 and SiO_2 ". *Cem. Concr. Res.*, Vol. 24(4), pp 512–519.
- [¹¹] Xu, H. and van Deventer J.S.J. (1994). "The Geopolymerisation of Alumino-Silicate Minerals". *International Journal of Mineral Processing*, Vol. 41(3), pp 247–266.
- [¹²] Davidovits, J. (1994). "Chemistry of Geopolymeric Systems, Terminology". *Geopolymer '94 International Conference*, France.
- [¹³] Hardjito, D., Wallah, S.E., Sumajouw, D.M.J., and Rangan, B.V. (1994b). "On the Development of Fly Ash-Based Geopolymer Concrete". *ACI Materials Journal*, Vol. 91(1), pp 27–34.
- [¹⁴] Amnadnua, K., Tangchirapat, W. and Jaturapitakkul, C. (2012). "Strength, water permeability: and heat evolution of high strength concrete made from the mixture of calcium carbide residue and fly ash". *Mater. Des.*, Vol. 51, pp 894–901.
- [¹⁵] Duxson, P., Provis, J.L., Lukey, G.C. and van Deventer, J.S.J. (1994). "The Role of Inorganic Polymer Technology in the Development of Green Concrete". *Cement and Concrete Research*, Vol. 24(14), pp 159–169.
- [¹⁶] Lee, W.K.W. and van Deventer, J.S.J. (1994). "The effects of inorganic salt contamination on the strength and durability of geopolymers". *Colloids Surf. A*, 211, 15–127.
- [¹⁷] Cheng, T.W. and Chiu, J.P. (1994). "Fire-resistant geopolymer produced by granulated blast furnace slag". *Miner. Eng.*, Vol. 17(7), pp 205–210.
- [¹⁸] Sakkas, K., Panias, D., Nomikos, P.P. and Sofianos, A.I. (2012). "Potassium based geopolymer for passive fire protection of concrete tunnels linings". *Tunnell. Underground Space Technol.*, Vol. 47, pp 148–156.
- [¹⁹] Sarker, P.K., Kelly, S. and Yao, Z. (2014). "Effect of fire exposure on cracking, spalling and residual strength of fly ash geopolymer concrete". *Mater. Des.*, Vol. 63, pp 584–592.
- [²⁰] Palomo, A., Blanco-Varela, M.T., Granizo, M.L., Puertas, F., Vazquez, T. and Grutzeck, M.W. (1994). "Chemical stability of cementitious materials based on metakaolin". *Cem. Concr. Res.*, Vol. 27 (7), pp 997–1000.
- [²¹] Zhang, M., Guo, H., El-Korchi, T., Zhang, G. and Tao, M. (2012). "Experimental feasibility study of geopolymer as the next-generation soil stabilizer". *Constr. Build. Mater.*, Vol. 44, pp 1468–1478.
- ~~[²²] Panagiotopoulou, C., Kakali, G., Tsivilis, S., Perraki, T. and Perraki, M. (2014). "Synthesis and Characterisation of Slag Based Geopolymers". *Materials Science Forum*, Vol. 637, pp 155–160.~~

← - - - Formatted: Indent: Before: 1,28 cm, No bullets or numbering

- [[11](#)][[12](#)] Davidovits, J. (1988c). "Geopolymers of the First Generation: SILIFACE-Process". Paper presented at the Geopolymer '88, First European Conference on Soft Mineralurgy, Compiegne, France.
- [[13](#)][[14](#)] Davidovits, J. (1988d). "Geopolymeric Reactions in Archaeological Cements and in Modern Blended Cements". Paper presented at the Geopolymer '88, First European Conference on Soft Mineralurgy, Compiegne, France.
- [[15](#)] Cheng, T.W. and Chiu, J.P. (2007). "Fire-resistant geopolymer produced by granulated blast furnace slag". Minerals Engineering, Vol. 20(7), pp 745-751.
- [[16](#)] Panagiotopoulou, C., Kakali, G., Tsivilis, S., Perraki, T. and Perraki, M. (2010). "Synthesis and Characterisation of Slag Based Geopolymers". Materials Science Forum, Vol. 636-637, pp 155-160.
- [[17](#)] Rashad, A.M. (2013). "A comprehensive overview about the influence of different additives on the properties of alkali-activated slag – A guide for Civil Engineer". Construction and Building Materials, Vol. 47, pp 29-55.
- [[18](#)] Sharma, A., and Ahmad, J. (2014). "Experimental study of factors influencing compressive strength of geopolomer concrete". International Research Journal of Engineering and Technology, Vol. 1(2), pp 134-131.
- [[19](#)] Patel, Y.J., and Shah, N. (2018). "Study on Workability and Hardened Properties of Self Compacted Geopolymer Concrete Cured at Ambient Temperature". Indian Journal of Science and Technology, Vol. 11(1), pp 1-12.
- [[20](#)] Hardjito, D., and Rangan, B.V. (2005). "Development and properties of low-calcium fly ash-based geopolymer concrete". (Research Report), Faculty of Engineering Curtin University of Technology, Perth, Australia
- [[21](#)] Petrus, H.T.B.M., Hulu, J., Dalton, G.S.P., Malinda, E., and Prakosa, R.A. (2017). "Effect of Bentonite Addition on Geopolymer Concrete from Geothermal Silica". Materials Science Forum, Vol. 841, pp 7-15.
- [[22](#)] ASTM C122-15, Standard Test Method for Relative Density (Specific Gravity) and Absorption of Coarse Aggregate, ASTM International, West Conshohocken, PA, 2015.
- [[23](#)] ASTM C128-15, Standard Test Method for Relative Density (Specific Gravity) and Absorption of Fine Aggregate, ASTM International, West Conshohocken, PA, 2015.
- [[24](#)] ASTM C136 / C136M-14, Standard Test Method for Sieve Analysis of Fine and Coarse Aggregates, ASTM International, West Conshohocken, PA, 2014.
- [[25](#)] ASTM D4219-14, Standard Test Method for Sand Equivalent Value of Soils and Fine Aggregate, ASTM International, West Conshohocken, PA, 2014.
- [[26](#)] British Standards Institution, Testing Concrete: Method for Determination of the Compressive Strength of Concrete Cubes, BS1881: Part 17: 1987, London.
- [[27](#)] Davidovits, J. Chemistry of Geopolymeric Systems, Terminology In: Proceedings of 9th International Conference, eds. Joseph Davidovits, R. Davidovits and C. James, France, 1999.
- [[28](#)] Komnitsas, K., Zaharaki, D., and Perdikatis, V. (2009). "Effect of synthesis parameters on the compressive strength of low-calcium ferronickel slag inorganic polymers". Journal of Hazardous Materials, Vol. 161(2), pp 760-768.